

01;05;09

© 1992 г.

ИНТЕНСИВНОСТЬ И ШИРИНА ЛИНИИ ФМР В ПЛЕНКАХ  
С ОРТОРОМБИЧЕСКОЙ МАГНИТНОЙ АНИЗОТРОПИЕЙ

B. Н. Ваньков, А. М. Зюзин

Теоретически и экспериментально исследованы угловые зависимости интенсивности  $I$  и ширина  $2\Delta H$  линии ФМР в пленках феррит-гранатов с орторомбической анизотропией. Определены компоненты тензора эффективных размагничивающих факторов таких пленок, необходимых для расчета угловых зависимостей  $I$  и  $2\Delta H$ . Показано, что на величину  $I$  влияют ориентация вектора ВЧ-поля  $\vec{h}_0$  относительно осей эллипса прецессии намагниченности (ЭПН), а также трансформация ЭПН, происходящая при изменении направления внешнего магнитного поля  $\vec{H}$ . Один из механизмов уширения линии ФМР в пленках с орторомбической анизотропией связан с происходящим в процессе прохождения резонансных условий изменением значений полярного  $\theta_m$  и азимутального  $\varphi_m$  углов, определяющих равновесную ориентацию вектора намагниченности  $\vec{M}_0$ . Получено удовлетворительное соответствие теоретических и экспериментальных результатов.

## Введение

В работе [1] было показано, что к числу факторов, влияющих на интенсивность  $I$  линии ФМР в одноосных пленках, относятся разорIENTATION между равновесной намагниченностью  $\vec{M}_0$  и полем  $\vec{H}$ , а также эллиптическая форма траектории движения конца вектора намагниченности  $\vec{M}$ . Различная ориентация вектора ВЧ поля  $\vec{h}_0$  относительно осей эллипса прецессии намагниченности (ЭПН) приводит к различию значений интенсивности. В работе [2] исследован механизм уширения линии ФМР  $2\Delta H$  в одноосных пленках, действующий при промежуточных, между трудным и легким направлениями внешнего магнитного поля. Причина уширения связана как с разориентацией  $M_0$  и  $H$ , так и в определяющей степени с изменением равновесной ориентации намагниченности в процессе прохождения резонансных условий при регистрации линии поглощения.

Целью данной работы явилось теоретическое и экспериментальное исследование особенностей влияния вышеотмеченных механизмов на ин-

тенсивность и ширину линии ФМР в пленках с орторомбической магнитной анизотропией (ОРМА). В работе также проведен учет влияния ориентации вектора ВЧ поля  $\vec{h}_0$  и изменения его проекции на плоскость, перпендикулярную  $\vec{M}_0$ , на ширину линии поглощения.

### Расчет угловых зависимостей интенсивности и ширины линии ФМР

Расчет угловых зависимостей  $I$  и  $2\Delta H$  проводился в предположении линейно поляризованного ВЧ поля  $\vec{h}_0$ , перпендикулярного внешнему квазистатическому магнитному полю  $\vec{H}$ . В этом случае кривую поглощения (зависимость поглощаемой мощности ВЧ поля  $P$  от  $H$ ) можно путем выбора соответствующей системы координат, не теряя при этом общности, описать через антиэрмитовую часть лишь одной из поперечных диагональных компонент тензора ВЧ восприимчивости  $\chi''_{ll}$  и соответствующую проекцию ВЧ поля  $h_l$ . Так, если  $\vec{M}_0$  совпадает с осью  $z$ , а  $\vec{h}_0$  лежит в плоскости  $xz$ , то

$$P(H) = \frac{\omega}{2} \chi''_{xx} h_x^2 = \frac{\omega}{2} \frac{\alpha \omega \gamma M \{2\omega_h q (\omega_h + \gamma N_{yy} M) - [\omega_0^2 - (1 + \alpha^2) \omega^2]\}}{[\omega_0^2 - (1 + \alpha^2) \omega^2] + 4\alpha^2 \omega_h^2 \omega^2 q^2} h_x^2. \quad (1)$$

Здесь  $\alpha$  — параметр затухания Гильберта,  $\omega$  — круговая частота ВЧ поля,  $\omega_0$  — собственная частота прецессии намагниченности,  $\gamma$  — гидромагнитное отношение,  $\omega_h = \gamma H_{lo}$ , где  $H_{lo}$  — сумма проекций  $\vec{H}$  и эффективного поля анизотропии  $\vec{H}_a^3$  на направление  $\vec{M}_0$ ,  $q = 1 + M(N_{xx} + N_{yy})/2H_{lo}$ ,  $N_{ll}$  — компоненты тензора эффективных размагничивающих факторов в выбранной системе координат. Интенсивность линии поглощения, которая пропорциональна мощности ВЧ поля, поглощаемой при резонансе  $P_{рез}$ , можно в этом случае выразить через амплитудное значение  $(\chi''_{xx})_{рез}$  и  $h_x^*$  — проекцию  $\vec{h}_0$  на ось  $x$  при резонансном значении  $H$

$$I \sim P_{рез} = \frac{\omega}{2} (\chi''_{xx})_{рез} (h_x^*)^2 = \frac{\omega}{2} \frac{\alpha M (\omega_h + \alpha N_{yy} M)}{2\alpha \omega \omega_h q} (h_x^*)^2. \quad (2)$$

Величины  $\omega_h$ ,  $q$ ,  $N_{ll}$ , входящие в выражение для  $(\chi''_{xx})_{рез}$ , зависят от полярного  $\theta_m$  и азимутального  $\varphi_m$  углов, определяющих направление  $\vec{M}_0$ , которые в свою очередь зависят от углов  $\theta_h$  и  $\varphi_h$ , определяющих направление  $H$ . Поэтому зависимость  $I$  от  $\theta_h$  и  $\varphi_h$  будет определяться зависимостями  $(\chi''_{xx})_{рез}$  и  $h_x^*$  от  $\theta_h$  и  $\varphi_h$ . Кроме того, величина  $I$  будет зависеть и от ориентации  $\vec{h}_0$ , определяющей положение плоскости  $xz$ , а

следовательно, и положение осей  $x$  и  $y$ , от которых в общем случае зависят значения  $N_{xx}$  и  $h_x^2$ .

Как показал проведенный анализ, при ориентации  $\vec{h}_0$ , не перпендикулярных плоскости, в которой лежат  $\vec{M}_0$  и  $\vec{H}$ , может нарушаться подобие между зависимостями  $\chi''_{xx}(H)$  и  $P(H)$ , что связано с изменением проекции  $h_x$ , происходящим в процессе прохождения резонансных условий.

Поэтому при расчете в качестве ширины линии принималось расстояние между точками на половине высоты кривой поглощения, описываемой не просто  $\chi''_{xx}(H)$ , а  $\chi''_{xx}(H) \cdot h_x^2(H)$ . Уравнение для нахождения этих точек имеет вид

$$\chi''_{xx} \cdot h_x^2 = \frac{1}{2} (\chi''_{xx})_{\text{рез}} \cdot (h_x^*)^2. \quad (3)$$

Из формул (1)–(3) следует, что для расчета угловых зависимостей как  $I$ , так и  $2\Delta H$  необходимо сначала определить значения компонент тензора эффективных размагничивающих факторов  $N^3$  для пленки с ортодромической анизотропией, причем в системе координат, ось  $z$  которой совпадает с  $\vec{M}_0$ , а плоскость  $xz$  параллельна  $\vec{h}_0$ . Затем, используя формулы (1)–(3), а также резонансное соотношение [3] и условия равновесной ориентации намагниченности:  $\partial U / \partial \theta_m = 0$ ,  $\partial u / \partial \varphi_m = 0$ , где  $U$  – свободная энергия анизотропного ферромагнетика в поле  $H$ , можно рассчитать  $I(\theta_m, \varphi_m)$  и  $2\Delta H(\theta_m, \varphi_m)$ , а также зависимость  $I$  и  $2\Delta H$  от ориентации  $\vec{h}_0$ . Для нахождения компонент  $N^3$  в упомянутой системе координат (нештрихованной) были предварительно определены значения компонент тензора  $(N^3)'$  в системе координат (штрихованной), оси  $z'$  и  $x'$  которой совпадают с осями анизотропии пленки. Плотность энергии анизотропии с учетом энергии размагничивающего поля записывали в виде [3, 4]

$$U_a = K_u \sin^2 \theta_m + K_r \sin^2 \theta_m \sin^2 \varphi_m + 2\pi M^2 \cos^2 \theta_m$$

или

$$U_a = K_u \left( 1 - \frac{M_z^2}{M^2} \right) + K_r \frac{M_y^2}{M^2} + 2\pi M_z^2, \quad (4)$$

где  $K_u$  и  $K_r$  – константы одноосной и ромбической (описывающей анизотропию в плоскости пленки [5]) компонент анизотропии соответственно,  $M_z$  – проекции  $\vec{M}$  на оси штрихованной системы координат.

Угол  $\theta_m$  отсчитывается от нормали к пленке,  $\varphi_m$  – в плоскости пленки от оси ромбической компоненты анизотропии – оси  $<001>$ .

При расчетах пренебрегали кубической анизотропией, величина которой в исследованных пленках была более чем на порядок меньше  $K_u$  и  $K_r$  и которая, как следует из полученных результатов, не оказывала заметного влияния на исследуемые зависимости. Значения компонент  $\begin{pmatrix} \leftrightarrow \\ N^3 \end{pmatrix}'$  получали путем сопоставления выражений для эффективного поля [6]

$$\vec{H}_a^3 = - \frac{\partial U_a}{\partial M} \text{ и } \vec{H}_a^3 = - \overset{\leftrightarrow}{N^3} \vec{M}.$$

Тензор  $(\overset{\leftrightarrow}{N})'$  в штрихованной системе координат будет иметь следующий вид

$$\begin{pmatrix} \leftrightarrow \\ N^3 \end{pmatrix}' = \begin{vmatrix} 0 & 0 & 0 \\ 0 & \frac{2K_r}{M^2} & 0 \\ 0 & 0 & -\frac{2K_r}{M^2} + 4\pi \end{vmatrix}. \quad (5)$$

$\leftrightarrow$

Выражения для компонент  $H$  в нештрихованной системе находили с помощью формулы преобразования компонент тензора при переходе от одной системы координат к другой [7]

$$N_{kl}^3 = \sum_{r'=1}^3 \sum_{s'=1}^3 \alpha_{kr'} \alpha_{ls'} N_{r's'}^3, \quad (6)$$

где  $\alpha_{xr''}$ ,  $\alpha_{ls}$  — косинусы углов между осями нештрихованной и штрихованной систем координат.

### Методика эксперимента

Измерения  $I$  и  $2\Delta H$  проводили на пленках феррит-гранатов состава  $(YBiDyCa)_3(FeSi)_5O_{12}$ , выращенных на подложках гадолиний-галлиевого граната, вырезанных в плоскости (110). Ориентацию кристаллографических осей определяли рентгеновским методом. Измерения  $I$  и  $2\Delta H$  проводили при температуре 293° К на частоте ВЧ поля  $\omega/(2\pi) = 9.34$  ГГц. Для регистрации угловых зависимостей использовался специальный держатель, позволяющий производить вращение образца относительно двух ортогональных осей.

На приведенных рисунках показаны угловые зависимости  $I$  и  $2\Delta H$  для пленки с параметрами: намагниченность насыщения  $M = 34$  Гс, параметр затухания Гильберта  $\alpha = 0.166$ ,  $\gamma = 1.69 \cdot 10^{-7} \text{ Э}^{-1} \cdot \text{с}^{-1}$ . Значения эффективного поля одноосной

$$H_{Ku} = \frac{2K_u}{M} - 4\pi M,$$

полей ромбической  $H_{kr} = (2K_r)/M$  и кубической  $H_{k_1} = (2K_1)/M$  компонент анизотропии, а также  $\gamma$  находили по способу, описанному в [3]. Отметим, что при нахождении этих параметров по резонансным полям и их угловым зависимостям возникает неоднозначность в величинах  $H_{ku}$  и  $H_{kr}$ , которая не влияет на исследуемые характеристики. В частности, реализация существующей в исследованных пленках орторомбической анизотропии возможна наборами значений  $H_{ku} = -2140$  Э,  $H_{kr} = 3200$  Э и  $H_{ku} = 1060$  Э,  $H_{kr} = -3200$  Э в зависимости от того, легкая или трудная ось в плоскости пленки принимается в качестве оси ромбической компоненты анизотропии. Поэтому с целью исключения неоднозначности в качестве последней, как и в [4, 8], была выбрана ось (в данном случае легкая), ориентированная вдоль направления [001]. Данному условию соответствуют первые из приведенных выше значений  $H_{ku}$ ,  $H_{kr}$  и, следовательно, отрицательное значение  $K_u$  и положительное  $K_r$ . Отметим также, что нормаль к пленке являлась промежуточной осью.

### Результаты исследований и их обсуждение

В работе приведены результаты исследований угловой зависимости для трех вариантов изменения ориентаций  $\vec{h}_0$  и  $\vec{H}$ , представляющих, на наш взгляд, наибольший интерес. В первом варианте исследовали зависимость  $I$  от ориентации  $\vec{h}_0$  в плоскости пленки (110) при  $\vec{H}$ , перпендикулярном этой плоскости.

Матрица направляющих косинусов для этого случая будет иметь вид

$$\overleftrightarrow{\alpha} = \begin{pmatrix} \cos \varphi_h & \sin \varphi_h & 0 \\ -\sin \varphi_h & \cos \varphi_h & 0 \\ 0 & 0 & 1 \end{pmatrix}, \quad (7)$$

а тензор  $\overleftrightarrow{N}$

$$\overleftrightarrow{N} = \begin{pmatrix} \frac{2K_r}{M^2} \sin^2 \varphi_h & \frac{2K_r}{M^2} \sin^2 \varphi_h \cos \varphi_h & 0 \\ \frac{2K_r}{M^2} \sin \varphi_h \cos \varphi_h & \frac{2K_r}{M^2} \cos^2 \varphi_h & 0 \\ 0 & 0 & -\frac{2K_u}{M^2} + 4\pi \end{pmatrix}. \quad (8)$$

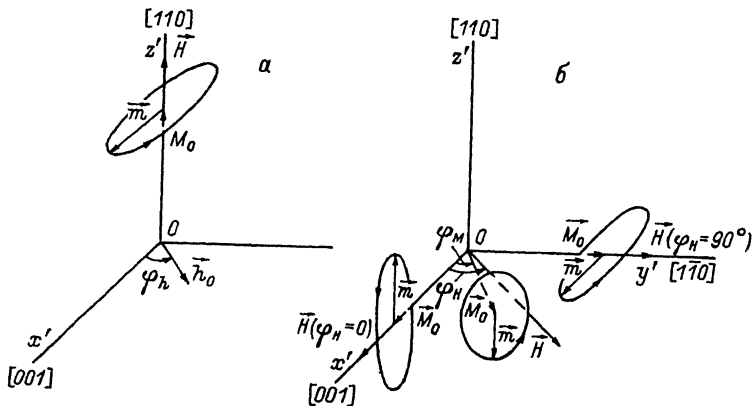


Рис. 1. Прецессия вектора намагниченности.

*а* — первый вариант наблюдения, *б* — второй и третий варианты наблюдения при различных  $\varphi_h$ .

В этих выражениях  $\varphi_h$  — угол между  $\vec{h}_0$  и осью ромбической компоненты анизотропии (осью  $<001>$ ). Для всех других вариантов наблюдения угловых зависимостей  $I$  и  $2\Delta H$  компоненты тензора  $\vec{N}$  определяли аналогичным образом.

Итак, если поле  $\vec{H}$  перпендикулярно плоскости пленки с ОРМА, то, как показывает расчет, движение конца вектора  $\vec{M}$  происходит по эллиптической траектории, причем большая полуось ЭПН совпадает с легким направлением, малая — с трудным (рис. 1, *a*). Изменение ориентации  $\vec{h}_0$  в плоскости пленки приводит тем самым к изменению его ориентации относительно осей ЭПН. Зависимость поглощаемой мощности ВЧ поля, а следовательно, и интенсивности от угла  $\varphi_h$  будет описываться выражением

$$I(\varphi_h) \sim P = \frac{\omega}{2} \frac{\gamma M (H + H_{ku} + H_{kr} \cos^2 \varphi_h)}{2\alpha\omega (H + H_{ku} + \frac{1}{2} H_{kr})} h_x^2, \quad (9)$$

т. е. иметь вид  $A + B \cos^2 \varphi_h$ , где  $A$  и  $B$  — постоянные. Отметим, что в рассматриваемом случае  $h_x = h_0$ . Механизм, объясняющий влияние ориентации  $\vec{h}_0$  относительно осей ЭПН на  $I$ , описан в [1].

Теоретические и экспериментальные угловые зависимости  $I$  от угла  $\varphi_h$  приведены на рис. 2. Видно, что при ориентации вектора  $\vec{h}_0$  вдоль легкого направления в плоскости пленки ( $\varphi_h = 0$ ), т. е. когда он параллелен большой полуоси ЭПН, интенсивность линии поглощения в несколько раз больше, чем при ориентации вдоль трудного направления ( $\varphi_h = \pi/2$ ). Амплитуда относительного изменения  $\Delta I/I_{min}$  прямо связана

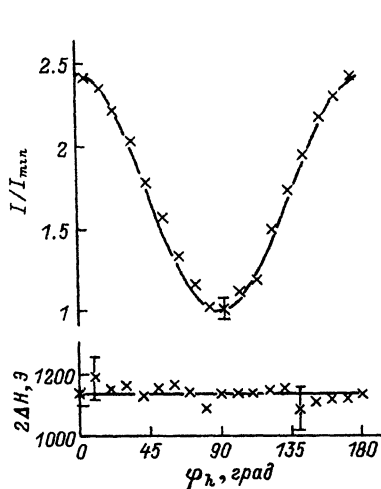


Рис. 2. Зависимость нормированных значений интенсивности  $I/I_{\min}$  и ширины линии  $2\Delta H$  от угла  $\varphi_h$  между  $\vec{h}_0$  и осью  $\langle 001 \rangle$  в плоскости пленки (110).

Сплошная линия — расчет, крестики — эксперимент.

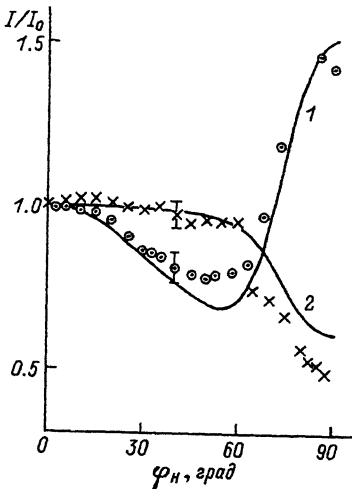
Рис. 3. Зависимость нормированных значений интенсивности от угла  $\varphi_h$  между  $\vec{H}$  и осью  $\langle 001 \rangle$  в плоскости пленки.

1 — при  $\vec{h}_0 \parallel$  плоскости пленки (вариант 2); 2 — при  $\vec{h}_0 \perp$  этой плоскости (вариант 3). Линии — расчет, крестики и точки — эксперимент.

на с величиной  $|H_{kr}|$ . Зависимость  $I(\varphi_h)$  можно использовать для определения осей анизотропии, а также при известном знаке  $K_r$  кристаллографических осей в плоскости пленки с ориентацией (110), обладающей ОРМА.

Необходимо отметить, что в рассматриваемом варианте ( $\vec{H} \perp$  плоскости пленки)  $2\Delta H$  не зависит от  $\varphi_h$ . Это следует из результатов анализа и подтверждается экспериментальными данными. Величина изменения  $2\Delta H(\varphi_h)$  не превышала относительной погрешности измерений этой величины, составляющей 6 %.

Во втором и третьем вариантах исследовали зависимость  $I$  от направления поля  $\vec{H}$  в плоскости пленки. При этом во втором варианте  $\vec{h}_0$  оставалось перпендикулярным, а в третьем — параллельным пленке. Одна из особенностей в данных вариантах наблюдения будет заключаться в трансформации ЭПН, происходящей при изменении угла  $\varphi_h$  между  $\vec{H}$  и осью ромбической компоненты анизотропии (рис. 1, б). Во втором варианте, при  $\varphi_h = 0$ , полю  $\vec{h}_0$  параллельна большая полуось ЭПН, при  $\varphi_h$



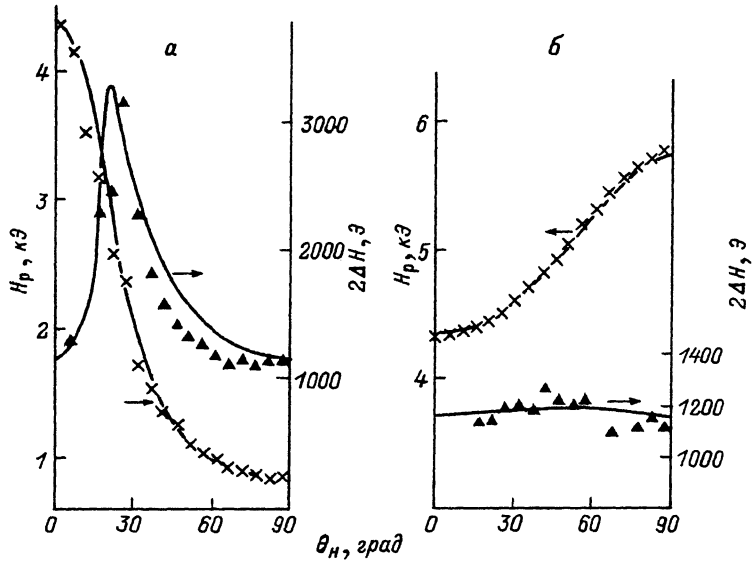


Рис. 4. Зависимость ширины линии  $2\Delta H$  и резонансного поля  $H_p$  от угла  $\theta_H$  между  $\vec{H}$  и нормалью к плоскости пленки.

*а* —  $\theta_H$  изменяется в плоскости  $(1\bar{1}0)$ ; *б* — в плоскости  $(001)$ . Линии — расчет, точки — эксперимент.

=  $90^\circ$  — малая. В третьем варианте будет происходить обратное. При одном из промежуточных значений  $\varphi_H$  траектория движения конца вектора  $\vec{M}$  становится круговой.

Происходящая трансформация ЭПН должна приводить к существенной зависимости  $I$  от угла  $\varphi_H$ . Максимумы  $I$  должны наблюдаться при значениях  $\varphi_H$ , когда с  $\vec{h}_0$  совпадает большая полуось ЭПН, минимумы — когда малая. Кроме того, в третьем варианте дополнительное влияние на  $I$  будет оказывать изменение проекции  $h_x$  из-за разориентации векторов  $\vec{M}$  и  $\vec{H}$ . Эти причины и объясняют качественное различие угловых зависимостей  $I$  в двух последних вариантах геометрии наблюдения (рис. 3).

Угловые зависимости ширины линии исследовали также для нескольких вариантов изменения углов  $\theta_H$  и  $\varphi_H$ . На рис. 4, *а*, *б* приведены теоретические и экспериментальные зависимости  $2\Delta H$ , а также резонансного поля  $H_p$  от полярного угла  $\theta_H$ , который отсчитывался от нормали к пленке и изменялся а) в плоскости  $(1\bar{1}0)$ , содержащей ось легкого намагничивания; б) в плоскости  $(001)$ , содержащей ось трудного намагничивания. Вектор  $\vec{h}_0$  при этом оставался параллельным плоскости пленки. Легко показать, что в этих случаях значение  $\varphi_H$  остается постоянным и равным  $\varphi_M$ , а уширение происходит за счет изменения равновесных значений  $\theta_M$ .

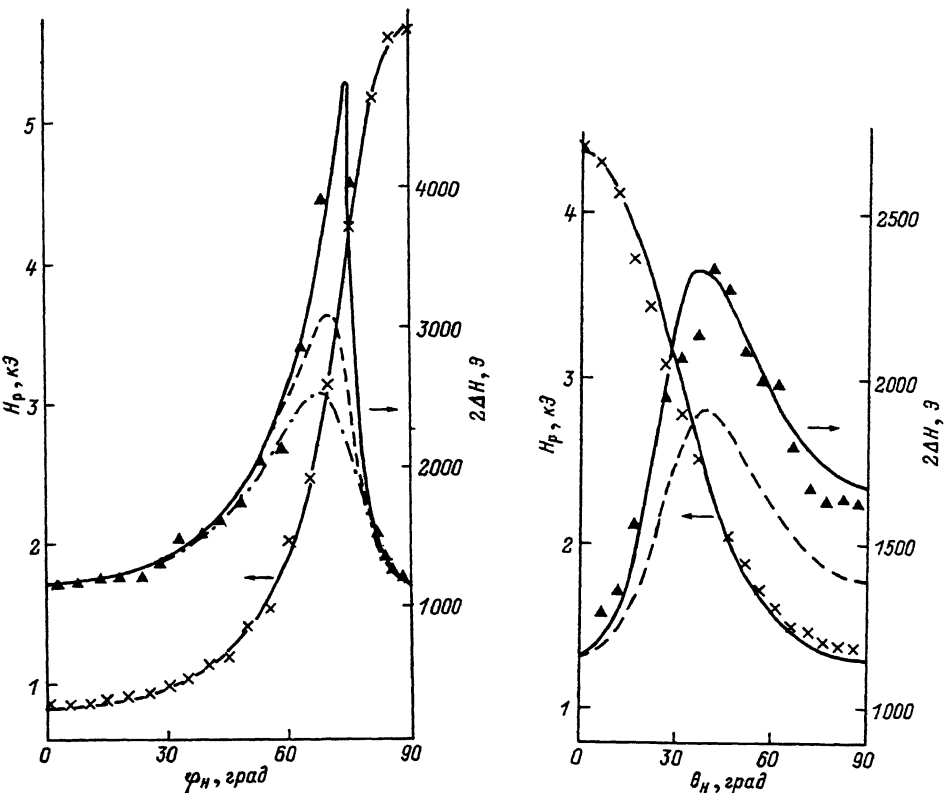


Рис. 5. Зависимость ширины линии и резонансного поля от угла между  $\vec{H}$  и осью  $<001>$  в плоскости пленки.

Сплошные линии — расчет, треугольники и крестики — эксперимент при  $\vec{h}_0 \perp$  к пленке; штрихпунктир и штриховая линия — расчет  $2\Delta H(\varphi_H)$  при  $\vec{h}_0 \parallel$  к пленке с учетом и без учета изменения проекции  $h_x$  соответственно.

Рис. 6. Зависимость ширины линии и резонансного поля от угла между  $\vec{H}$  и нормалью к пленке при  $\varphi_H = 45^\circ$ .

Сплошные линии — расчет, треугольники и крестики — эксперимент, штриховая — расчет  $2\Delta H(\theta_H)$  при  $\varphi_M = (\varphi_M)_{рез}$ .

Как следует из рис. 4, а, б, зависимости  $2\Delta H(\theta_H)$  в одном и другом вариантах заметно различаются между собой. Это различие объясняется существенным различием интервалов и областей изменения  $H_p(\theta_H)$  в одном и другом вариантах. В частности, малое изменение  $2\Delta H(\theta_H)$  в варианте б связано с существенно меньшим интегралом изменения  $H_p(\theta_H)$ , а также с тем, что ФМР в этом случае наблюдается при более высоких значениях внешнего магнитного поля. Таким условиям соответствуют меньшая величина разориентации  $|\theta_H - \theta_M|$  векторов  $\vec{M}_0$  и  $\vec{H}$ , меньшее

изменение этой величины в процессе прохождения резонансных условий, как следствие, меньшее уширение  $2\Delta H$  при промежуточных значениях  $\theta_H$ . Отметим, что величина разориентации ( $\theta_H - \theta_M$ ) в вариантах *a* и *b* имеет разные знаки.

На рис. 5 приведены теоретические и экспериментальные зависимости  $2\Delta H$  и  $H_p$  от направления поля  $H$  в плоскости пленки при  $\vec{h}_0$ , перпендикулярном этой плоскости.

В данном случае один из механизмов уширения связан с изменением равновесных значений  $\varphi_M$ , происходящим в процессе прохождения резонансных условий.  $\theta_M$  при этом остается постоянным и равным  $\theta_H = 90^\circ$ . Как следует из рис. 5, ширина линии при промежуточных значениях  $\varphi_H$  может в несколько раз превышать значение  $2\Delta H$  при  $\varphi = 0.90^\circ$ , которое равно  $2\alpha(\omega/\alpha)$ .

При произвольных значениях  $\theta_H$  и  $\varphi_H$  на ширину линии будут влиять изменения равновесных значений как  $\theta_M$ , так и  $\varphi_M$ . На рис. 6 приведены теоретические и экспериментальные зависимости  $2\Delta H(\theta_H)$  и  $H_p(\theta_H)$  при  $\varphi_H = 45^\circ$ . Штриховой линией обозначена зависимость  $2\Delta H$  от  $\theta_H$  при фиксированном и соответствующем резонансному значению  $H$  азимутальном угле  $\varphi_M$ . Видно, что уже одно изменение равновесных значений  $\theta_M$  приводит к заметному уширению  $2\Delta H$ . Изменение равновесных значений  $\varphi_M$  приводит к дополнительному уширению.

Нами было исследовано влияние ориентации  $\vec{h}_0$  на ширину линии поглощения. Как показал расчет, при больших ( $\alpha > 0.05$ ) значениях параметра затухания это влияние становится существенным (рис. 5). Различие значений  $2\Delta H$  для разных ориентаций  $\vec{h}_0$  при промежуточных  $\varphi_H$  связано как с зависимостью  $\chi''_{xx}$  от ориентации  $\vec{h}_0$  (см. формулы (1), (3)), так и с изменением проекции  $h_x = h_0 \cos(\varphi_H - \varphi_M)$  при прохождении резонансных условий, когда поле  $\vec{h}_0$  не перпендикулярно плоскости, в которой лежат векторы  $\vec{M}$  и  $\vec{H}$ .

Отметим также, что с увеличением  $\alpha$  форма линии поглощения начинает все более отличаться от лоренцевой, причем это отличие, обусловленное изменением равновесной ориентации в наибольшей степени, проявляется при промежуточных значениях  $\theta_H$  и  $\varphi_H$  в пленках с большими относительными значениями  $H_{ku}/(\omega/\gamma)$  и  $H_{kr}/(\omega/\gamma)$ .

## Список литературы

- [1] Зюзин А.М., Ваньков В.Н. // ФТТ. 1990. Т. 32. Вып. 7. С. 2015–2019.
- [2] Зюзин А.М. // ФТТ. 1989. Т. 31. Вып. 7. С. 109–112.
- [3] Makino H., Hidaka Y. // Mat. Res. Bull. 1981. Vol. 16. N 8 P. 957–966.
- [4] Эшенфельдер С. Физика и техника цилиндрических магнитных доменов. М.: Мир, 1983. 496 с.

- [5] Балбашов А.М., Лисовский Ф.В., Мансветова Е.Г. и др. // Микроэлектроника. 1989. Т. 18. № 3. С. 274—277.
- [6] Гуревич А.Г. Магнитный резонанс в ферритах антиферромагнетиках. М.: Наука, 1973. 591 с.
- [7] Кочин Н.Е. Векторное исчисление и начала тензорного исчисления. М.: Наука, 1965. 426 с.
- [8] Konishi S., Engemann J., Heidmann J., Hibiya T. // App1. Phys Lett. 1981. Vol. 38. N 6. P. 467—469.

Мордовский университет им. Н.П.Огарева  
Саранск

Поступило в Редакцию  
14 мая 1991 г.  
В окончательной редакции  
17 октября 1991 г.

---